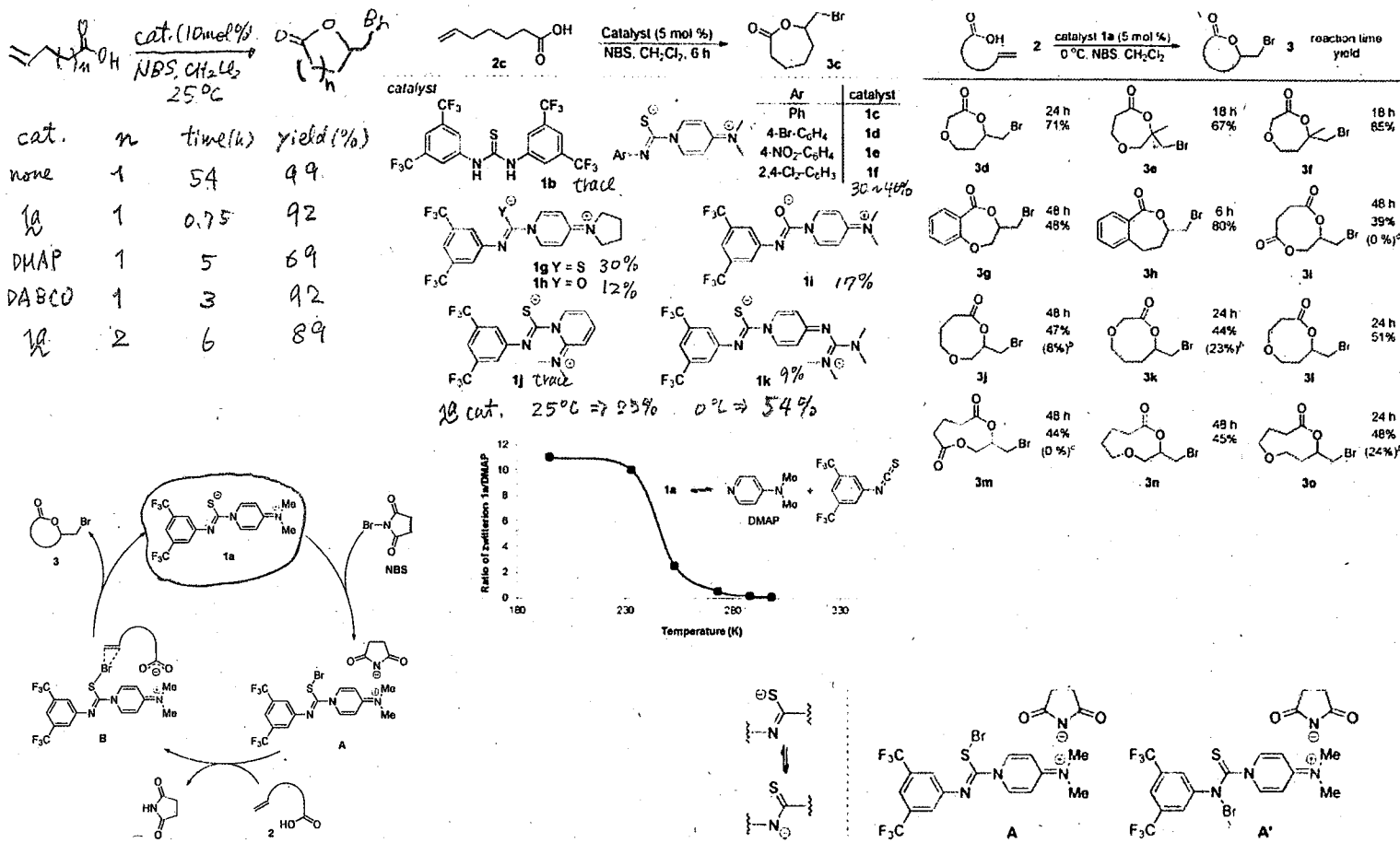


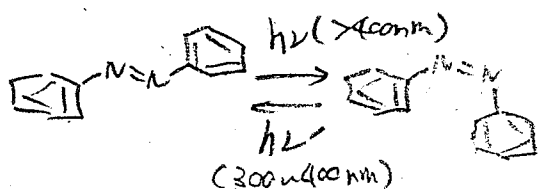
Efficient Medium Ring Size Bromolactonization Using a Sulfur-Based Zwitterionic Organocatalyst



I. Aprahamian et al. Dartmouth College, United States. *J. Am. Chem. Soc.* **2012**, Youhei Takeda 134, 15221–15224.

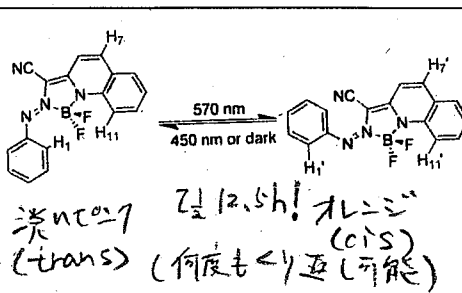
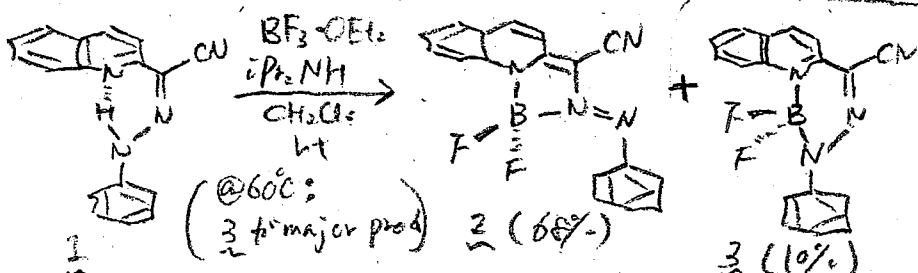
Visible Light Switching of a BF<sub>2</sub>-Coordinated Azo Compound

photo-induced trans-cis isomerization of azobenzene

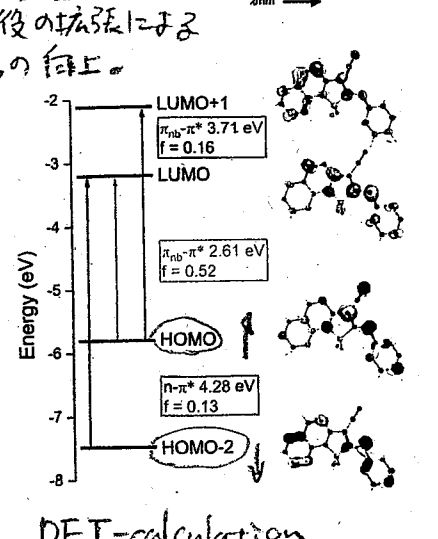
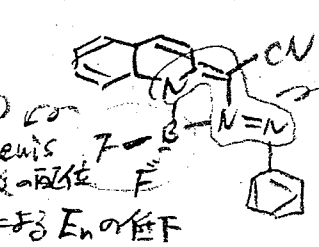
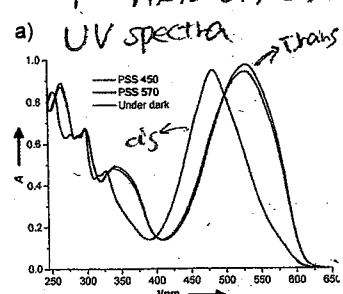


Handwritten notes:  $h\nu$  is visible light or UV (領域にまで光が及ぶ用途が増えた。(生体分子への応用))

<Serendipitous discovery of the formation of azo 2>

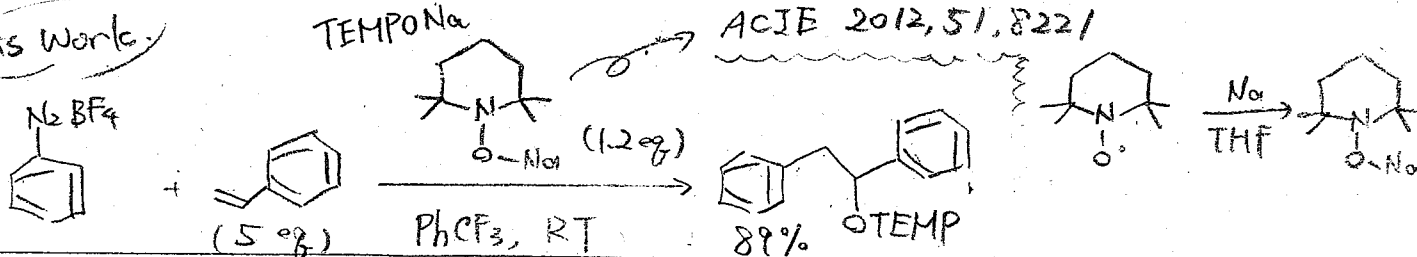


Handwritten note: 分子設計 (特に Lewis 酸) に一役はあり得る。

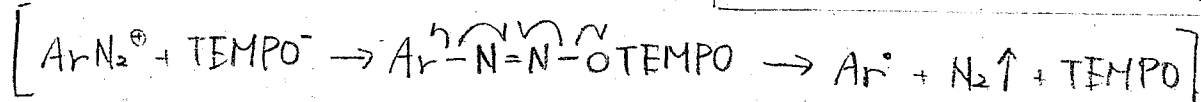
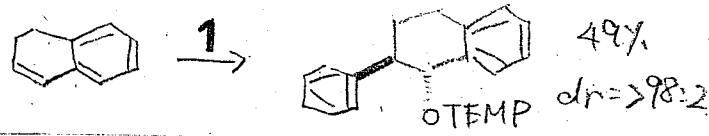
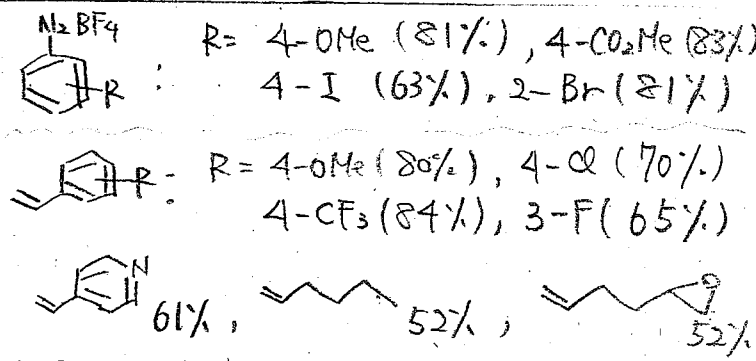
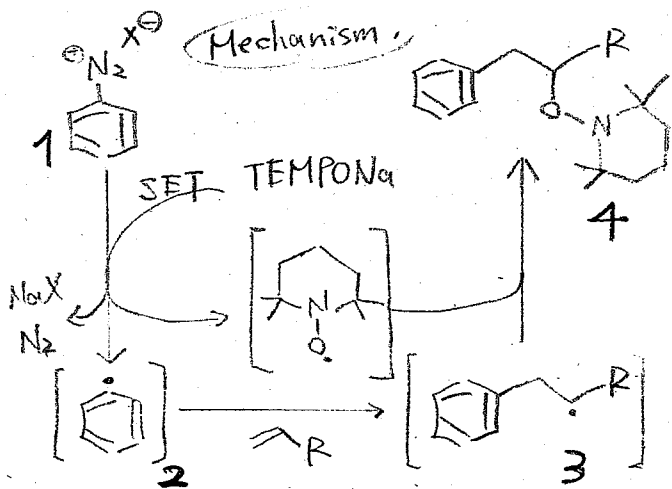


Transition-Metal-Free Oxyarylation of Alkenes with Aryl Diazonium Salts and TEMPO<sub>Na</sub>

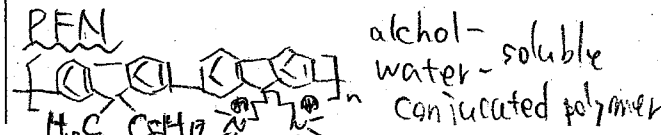
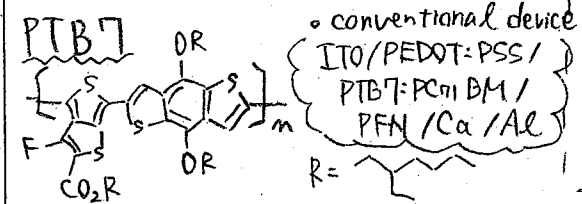
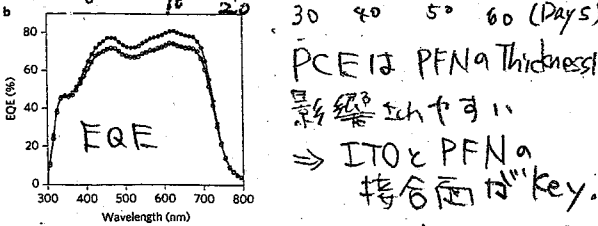
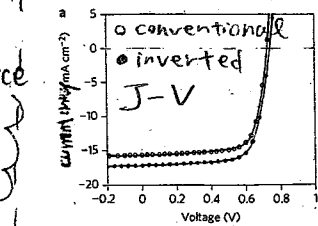
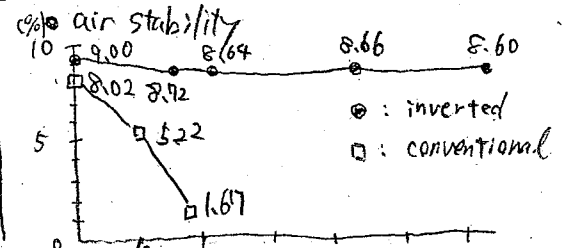
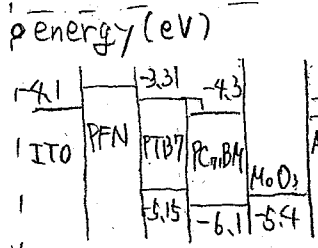
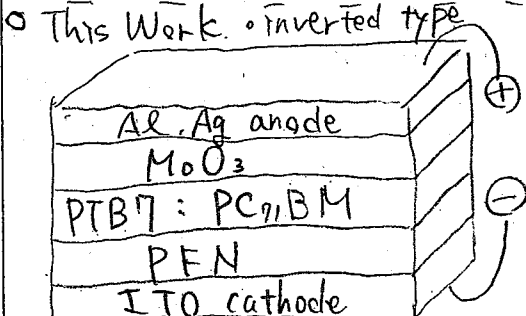
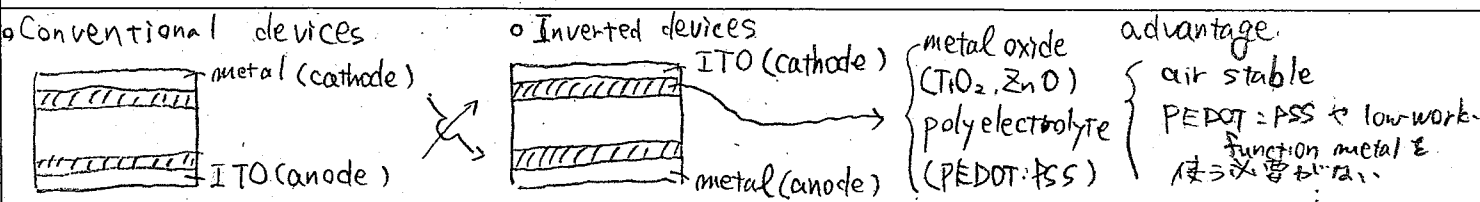
This Work



Mechanism



Enhanced power-conversion efficiency in polymer solar cells using an inverted device structure

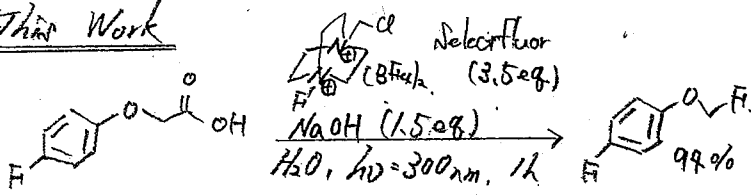


device type	PCE	J <sub>sc</sub>	FF	V <sub>oc</sub>
conventional	8.24	15.4	70.6	0.759
inverted	9.21	17.5	69.99	0.754

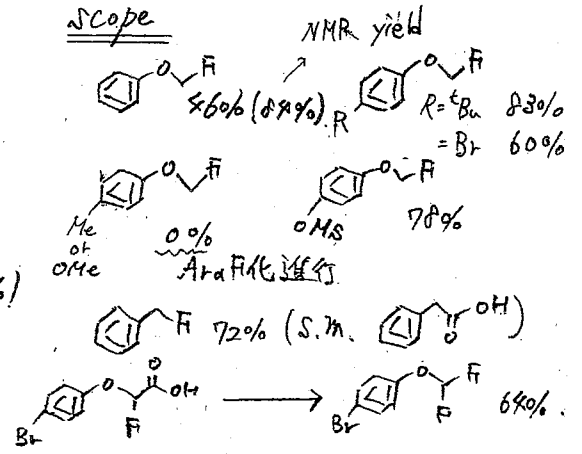
Additional data for inverted device: 5nm: 8.39%, 10nm: 8.96%, 20nm: 7.36%

Photo-fluorodecarboxylation of 2-Aryoxy and 2-Aryl Carboxylic Acids

This Work



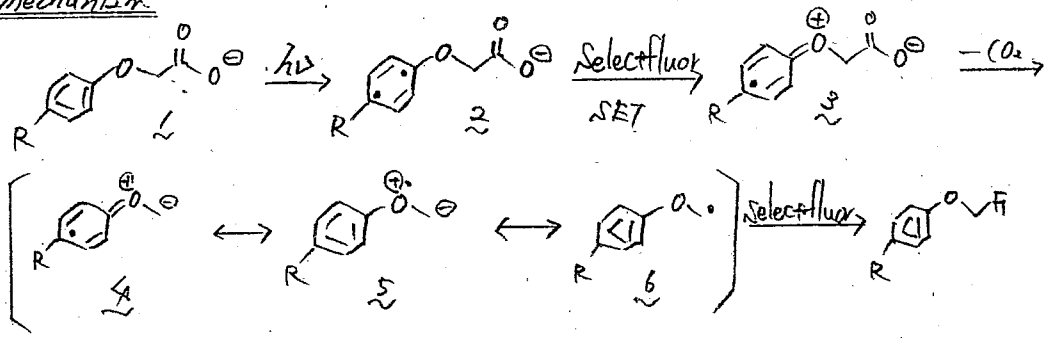
Scope



Optimization

- Light: 350 nm (49%), sunlight (42%), tungsten lamp (4%)
- F<sup>-</sup> source: Py-F-Py (0%), F-N-SO<sub>2</sub>Ph (28%)
- 難溶な基質は MeCN と co-solvent に 添加

Mechanism

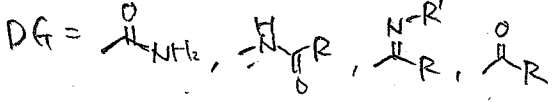
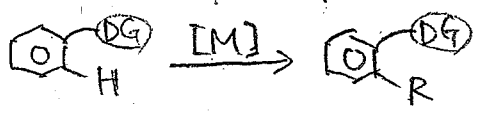


- hypofluorite は NMR での検出はできない。
- 2, 3 の一方がより良い電子供与。
- 反応の進行は 2, 3 の一方がより良い。

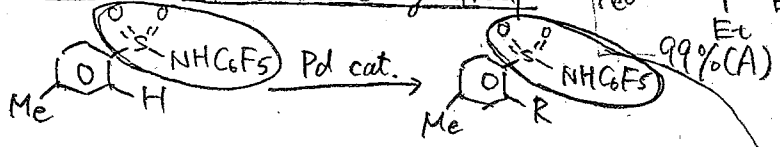
Nicolai Cramer et al.	Laboratory of Asymmetric Catalysis and Synthesis (Switzerland)	Angew. Chem. Int. Ed. 10.1002/anie.201206191	池田
-----------------------	--	--	----

Access to Sultams by Rhodium(III)-Catalyzed Directed C-H Activation

<C-H Activation>

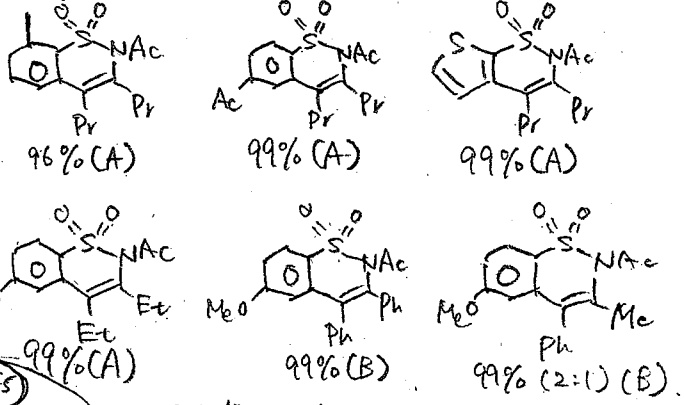


Sulfonamides as Directing Group



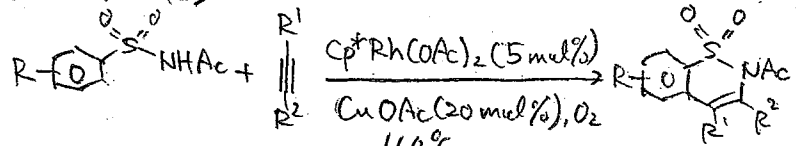
Yu, J.-Q. et al. JACS (2011)

<Scope>

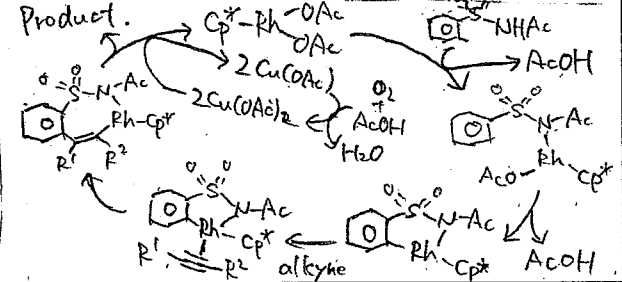


condition A: solvent; tAmOH  
 condition B: solvent; toluene

<This work>

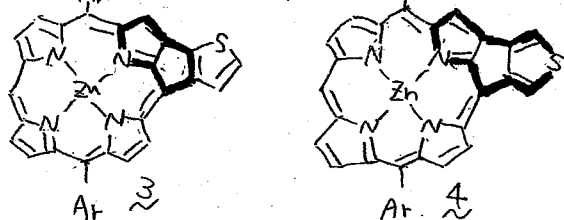


Rhodium-catalyzed intermolecular reaction



### Synthesis of Thieno-Bridged Polphyrins: Changing the Antiaromatic Contribution by the Direction of the Thiophene Ring

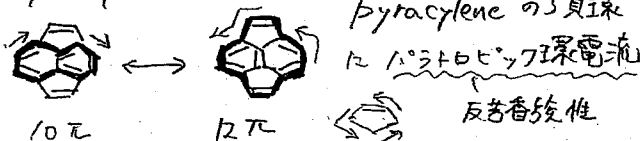
#### π-Extended Porphyrins



Ar 3  
18π aromatic  
20π antiaromatic

Ar 4  
18π aromatic  
24π weak antiaromatic

#### Pyracylene



AICD plot = 3 の 5員環に π-電子の循環電流



NICS(0): +30.5 ppm (3), +13.1 ppm (4)

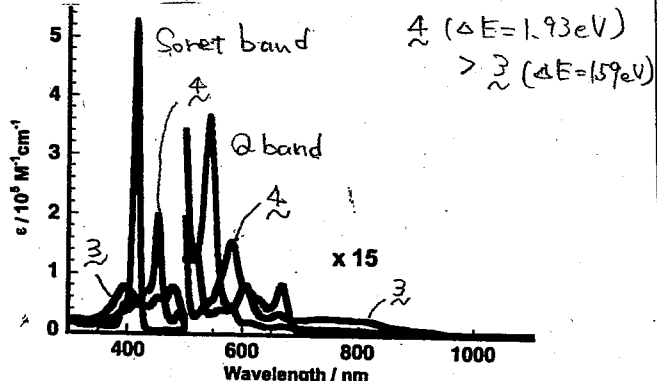
porphyrin macrocycle の NICS(0)

3 = -10.1 ~ -13.6 ppm (20π)  
4 = -14.6 ~ -16.1 ppm (3 の方が反芳香性の寄与が大きい)

#### <sup>1</sup>H NMR

β位と meso位のプロトンには、3 の方がより高磁場に観測された。

#### UV-Vis-NIR



4: fluorescence maxima = 674nm, Φ = 0.009

3: No fluorescence

3 の lifetime = 4 (790ps) > 3 (850fs, 7.5ps)

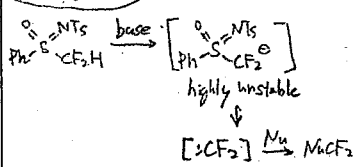
3 における S<sub>1</sub> → S<sub>0</sub> の無輻射遷移がすみやかに起こる。

3 の強い反芳香性により、π-電子軌道が不安定化

4 は 24π系に S を含むため弱い反芳香性

### Tuning the Reactivity of Difluoromethyl Sulfoximines from Electrophilic to Nucleophilic: Stereoselective Nucleophilic Difluoromethylation of Aryl Ketones

#### Previous Work

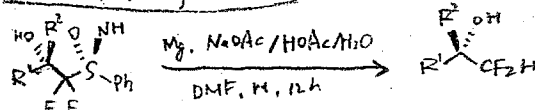


反芳香性電子求引性の弱い基に  
反応させると反応性が弱くなる

base	solv.	T (°C)	t (h)	yield (%)	dr
NaHMDS	THF	-78	3	37	97/13
KHMDS	THF	-78	3	67	90/10
KHMDS	THF/HMPA	-78	3	48	57/43
KHMDS	THF	-98	0.5	82	93/7
*KHMDS	THF	-98	0.5	99 (88)	93/7

sulfoximide: ketone = base = 1.0 = 1.5 = 1.2  
\* n.e.e. 1.0 = 1.5 = 1.8

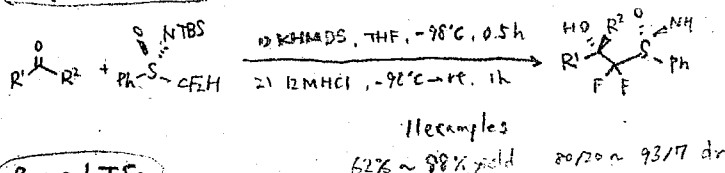
#### Reductive Desulfoximation



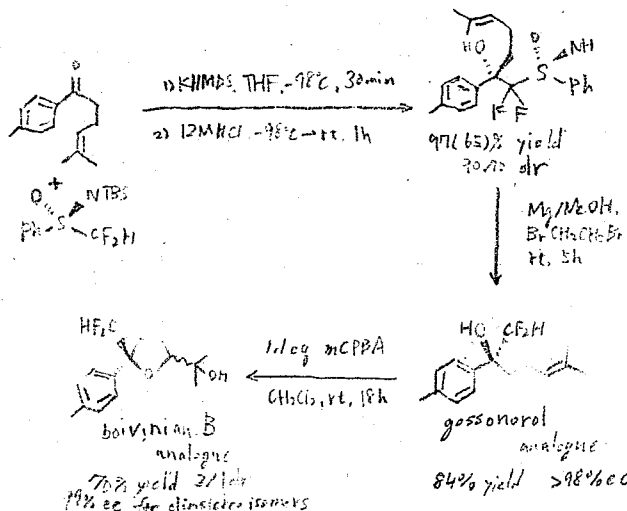
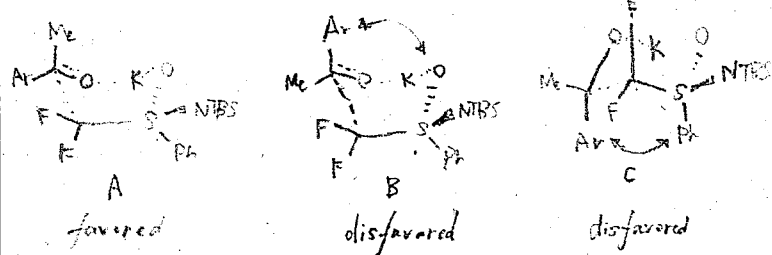
R<sup>1</sup> = Ph, R<sup>2</sup> = Me 77%  
R<sup>1</sup> = 4-F C<sub>6</sub>H<sub>4</sub>, R<sup>2</sup> = Me 68%  
R<sup>1</sup> = 2-MeOC<sub>6</sub>H<sub>4</sub>, R<sup>2</sup> = Me 90%

R<sup>1</sup> = Ph, R<sup>2</sup> = <sup>n</sup>Pr 83%  
R<sup>1</sup> = <sup>n</sup>Pr, R<sup>2</sup> = Me 84%  
R<sup>1</sup> = 4-Bi C<sub>6</sub>H<sub>4</sub>, R<sup>2</sup> = H 68%

#### Difluoromethylation

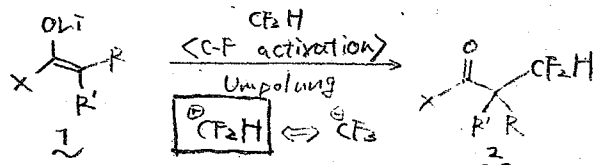


#### Proposed TSs

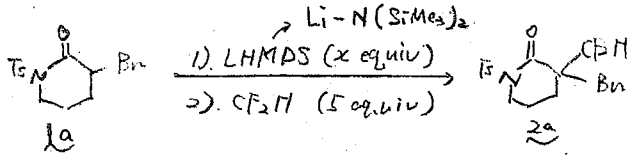


Umpolung of Fluoroform by C-F Bond Activation: Direct Difluoromethylation of Lithium Enolates

Umpolung - 極性転換



effects of the amount of lithium amide

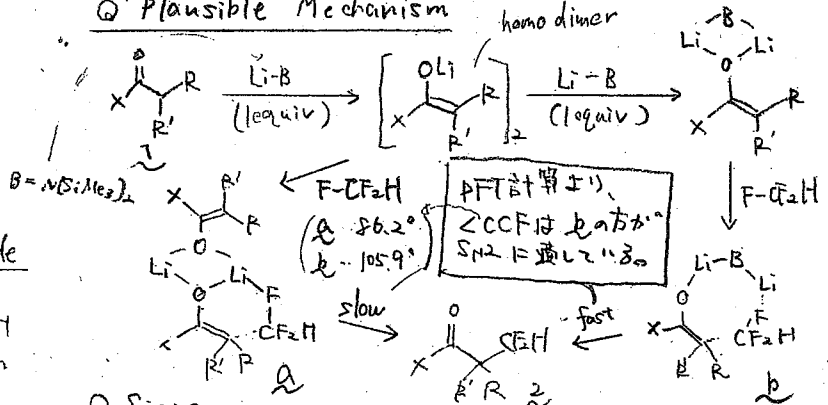


Entry	x [equiv]	T [°C]	t [h]	Yield [%]*
1	1	-78	14	17
2	2	-78	14	45
3	3	-78	14	25
4	2	rt	6	64
5	3	rt	6	24

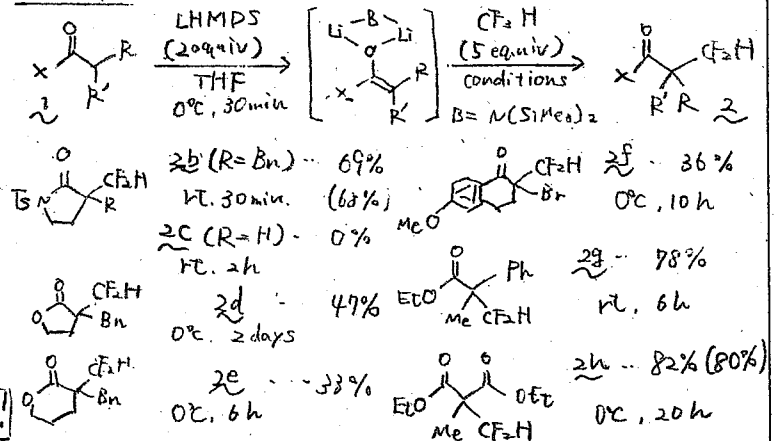
\* The yields were determined by <sup>19</sup>F NMR

1当量 < 2当量 > 3当量 ⇒ 2当量がベスト!!

Plausible Mechanism

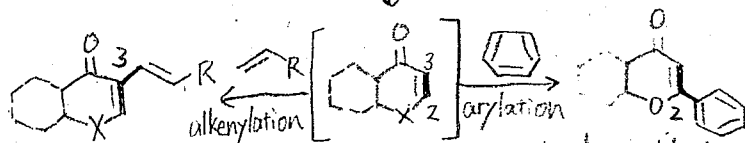
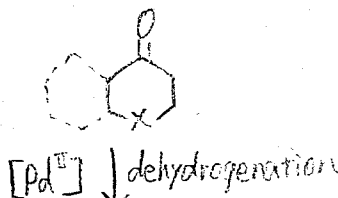


Scope

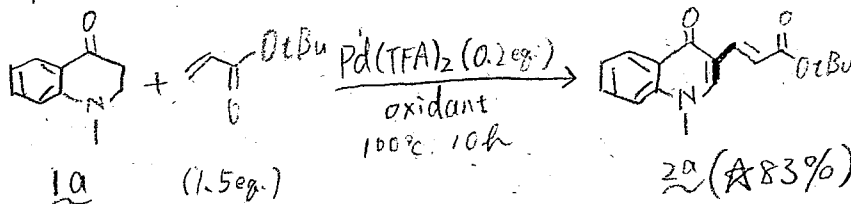


Palladium-Catalyzed Dehydrogenation/Oxidative Cross-Coupling Sequence of β-Heteroatom-Substituted Ketones

<This work>



<Optimization of the dehydrogenation/oxidative Heck reaction>

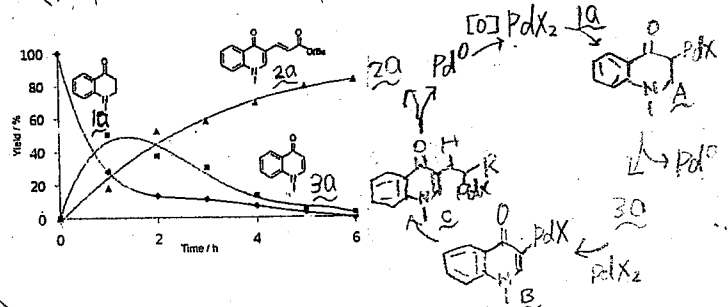


**[Cu] (3 eq.)**  
Cu(OAc)<sub>2</sub>  
Cu(TFA)<sub>2</sub>·nH<sub>2</sub>O  
\* CuCO<sub>3</sub>·Cu(OH)<sub>2</sub>

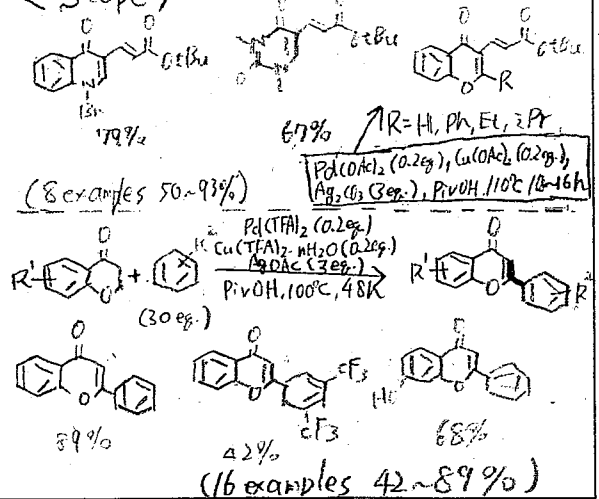
**[Ag] (3 eq.)**  
AgOAc  
(oxidative decomposition of 1a)

**[Solvent]**  
DMF  
4-dioxane  
\* PivOH  
AcOH

<Proposed mechanistic pathways>



<Scope>

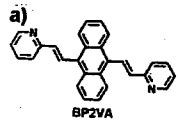


## Piezochromic Luminescence Based on the Molecular Aggregation of 9,10-Bis((E)-2-(pyrid-2-yl)vinyl)anthracene

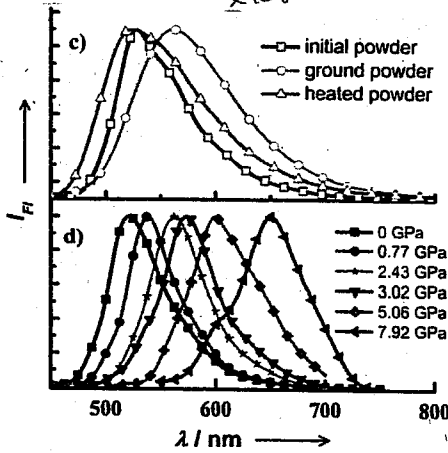
外部圧力を変化 (0 GPa → 7.92 GPa)

分子の配列・仕方が変化

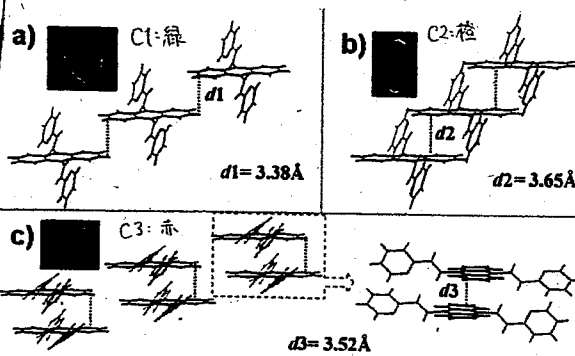
発光スペクトルが変化 (528 nm → 652 nm)  
green red



← 今回使用した分子 grinding と heating (160°C) で可逆的に発光スペクトルが変化。



発光色、異なる3種類、単結晶



C1: π-π interaction がほとんどない。分子間での軌道の重なりが少ない。  
 $\lambda_{max} = 527 \text{ nm (green)}$   
 $\Phi_F = 0.48$

C2: π-π interaction が約40%重なり、軌道の重なりが生じている。弱い π-π interaction。  
 $\lambda_{max} = 579 \text{ nm (orange)}$   
 $\Phi_F = 0.37$

C3: π-π interaction がほとんど重なり、強い π-π interaction。  
 $\lambda_{max} = 618 \text{ nm (red)}$   
 $\Phi_F = 0.28$

外部圧力を加える時、このような分子の配列の変化が生じていると考えている。

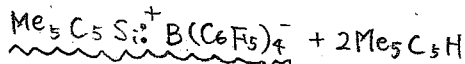
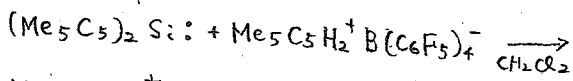
## The Elusive Silyliumylidene [CISi:]<sup>+</sup> and Silathionium [CISi=S]<sup>+</sup> Cations Stabilized by Bis(Iminophosphorane) Chelate Ligand

Silyliumylidene [R<sub>3</sub>Si:]<sup>+</sup>

(R = H, halogens, organo groups)

→ building blocks, Lewis acid catalysts として利用

• The first isolable silyliumylidene cations.



• This Work

The synthesis of the isolable [C<sub>2</sub>Si:]<sup>+</sup>

→ Cl は求核剤 R で置換できるので、[C<sub>2</sub>Si:]<sup>+</sup> は

他の [R<sub>3</sub>Si:]<sup>+</sup> を合成するのに有用な前駆体となる。

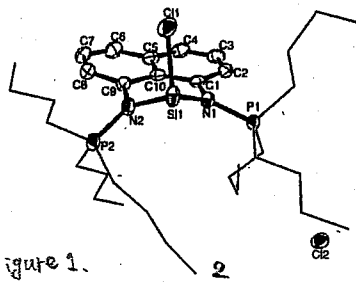
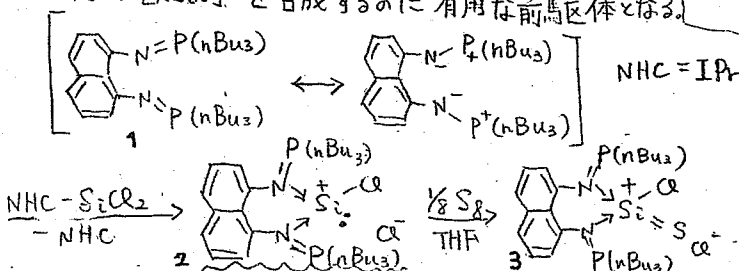


Figure 1.

P1-N1: 1.666 Å, P2-N2: 1.659 Å

→ P-N 単結合 (1.75-1.80 Å) と P=N 二重結合 (1.51-1.57 Å) の中間

→ 正電荷は非局在化

NPAの結果: P上に正電荷、N上に負電荷、Si上に正電荷を持っている。

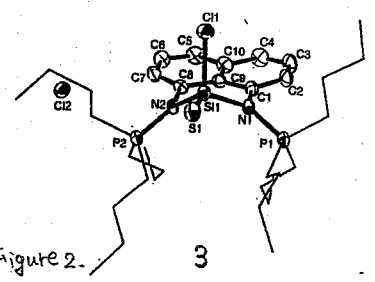
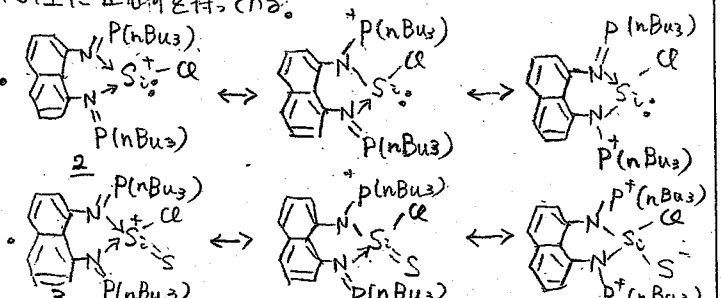


Figure 2.

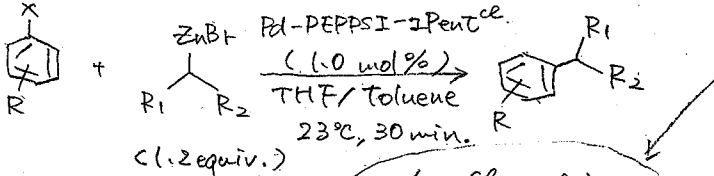
Si中心は四面体型で配位している。

配位数が増加しているのは Si-Cl の距離は 2.17 Å と短く付いている。(3: 2.087 Å, 2.171 Å)

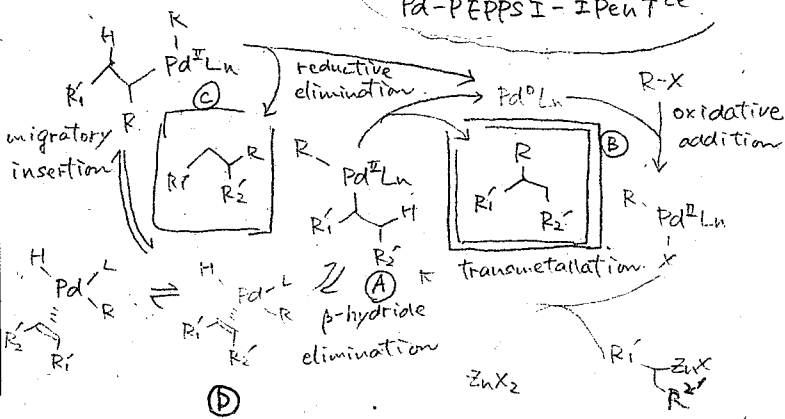
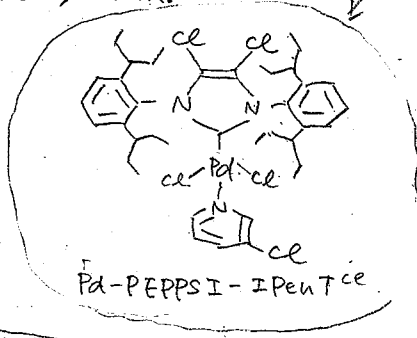
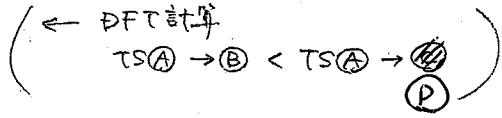


Pd-PEPPSI-IPent<sup>ce</sup>: A Highly Effective Catalyst for the Selective Cross-Coupling of Secondary Organozinc Reagents

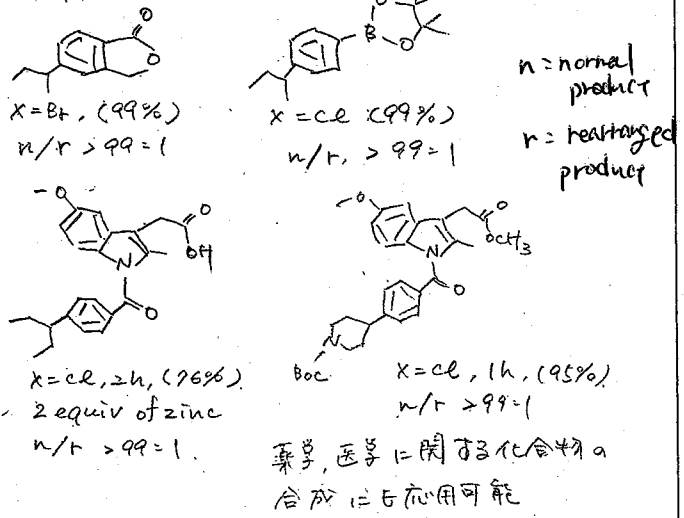
<This Work>



catalyst  $\rightarrow$  高高度  
電子密度小I

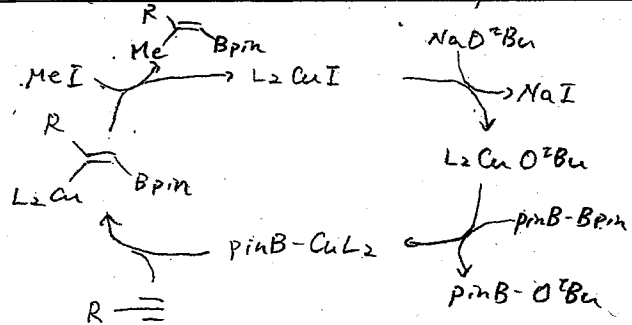


<scope>

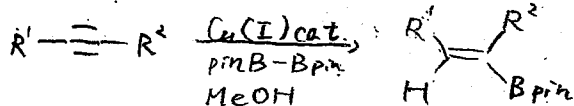


Copper(I)-Catalyzed Formal Carboboration of Alkynes; Synthesis of Tri- and Tetra substituted Vinylboronates

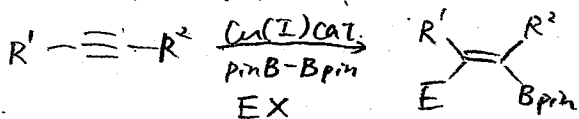
C=C-B-O<sub>2</sub>  
 ・鈴木・宮浦の改良  
 ・共役付加  
 ・C=Cに利用可能で、複雑な分子への適用が可能  
 ⇒ 3 or 4 置換体を合成する方法がほしい



C=Cの官能基化

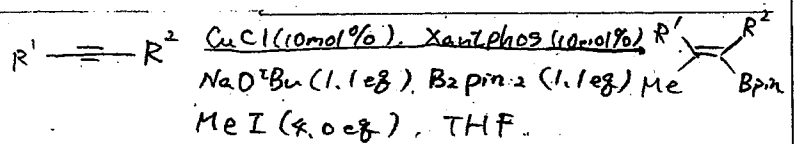


C=Cの官能基化 (This work)



(E = Me, Allyl, Bn)

\* 末端アルキンは Me, Bn が



- R<sup>1</sup> = Ar, R<sup>2</sup> = H or Me, 12 examples 66~83%
- R<sup>1</sup> = Ar, R<sup>2</sup> = Me or Ph 2 examples 50~70%
- R<sup>1</sup> = Alkyl, R<sup>2</sup> = H 3 examples 56~59%
- 1,3-enyne を用いた場合, 5 examples 52~77%

位置異性体の生成が抑制される  
3 or 4 置換 C=C 官能基化の生成